#### СТРОИТЕЛЬНЫЕ КОНСТРУКЦИИ

### В. А. МНАЦАКАНЯН

# ОПЫТ ПРИМЕНЕНИЯ ТЕОРИИ РАСШИРЕННОГО ПОДОБИЯ К ИССЛЕДОВАНИЮ СЕЙСМОСТОЙКОСТИ КАМЕННЫХ КОНСТРУКЦИЙ

Изучению динамических свойств зданий и сооружений путем использования сейсмоварывных коли посвящей ряд работ. Однако, работ по изучению динамики сооружений с помощью моделей на сейсмовэрывное воздействие сравнительно мало. Между тем крайне целесообразво проведение экспериментальных исследонаний на моделях с использованием сейсмоварывного воздействия. В статье принедены результаты экспериментальных исследований моделей двух типов кирпичных трехэтажных жилых домов на сейсмоварынное воздействие, в основу которых легла теория расширенного подобия твердых деформируемых тел, разработанная А. Г. Назаровым [1].

Выбор кирпичного трехэтажного жилого дома в качестве объекта лля целей моделирования на сейсмоварывное воздействие был продиктован, исходя из следующих соображений: во-перных, массовым возведением таких зданий в районах 8-9 балльной сейсмичности, во-вторых, необходимостью сравнить работу моделей зданий с антисейсмическими мероприятиями и без них для оценки эффективности их применения.

Обеспечение условий расширенного подобия лля моделирования вирпичной кладки связано с большими трудностями при подборе модельного материала. Для каменной кладки, состоящей из различного рода материалов, обеспечение коэффициентов в и т весьма затруднительно. Более выгодным является случай расширенного подобия, когда ускорения для оригинала и модели ранны и имеют место большие перемещения при т = 1. Этот случай приближается к простому подобию [2] и для множителя подобия плотности имеет место условие i = 1/a. Тогда остальные множители подобия будут: для напряжений  $\beta = 1$ , для масс  $\alpha^2$ , для времени —  $\xi = 1$   $\alpha$ , для модулей деформаций — 3 = 1, для погонной нагрузки а, для сосредоточенной нагрузки 25, для объемных сил — 1 2. Следопательно, деформационные свойства и напряженные состояния оригинала и модели одинаковы. При таком подходе несколько затрудняется подбор модельного матернала, деформационные свойства которого должны совпадать со свойствами материала оригинала, а плотность - отличаться в 1/2 раза.

Однако, в тех случаях, когда имеется возможность распределенную массу заменить дискретными массами, сосредоточенными на междуэтах ных перекрытиях, рассмотренные условия полобия становятся весьма удобными. Тогда необходимо для масс принять условие  $m' = \alpha^2 m$  [2]. Удобство такого подхода заключается в том, что ускорения для оригинала и модели равны между собой и не требуются дополнительные безынерционные пригрузки. Такой случай расширенного подобия еще больше расширяет область применения простого подобия, соблюдая условие  $\beta = \gamma = \delta = 1$ , а педостаток веса компенсируя дополнительными сосредоточенными пригрузками. На основании вышеизложенного и произведен подбор модельного материала.

Выбор масштаба модели множителя подобия линейных размеров а, произведен, исходя из соображений максимального использования именшегося под рукой модельного материала силикатного кирпича строго стандартных размеров, а также соблюдения идентичности технологии кладки кирпичных степ модели и оригинала. При втом наиболее удобным является масштаб з = 0,625, моделирующий осповные несущие конструкции оригинала кирпичные стены, толщиной 40 см. Тогда и модели будем иметь толщину стен в один кирпич — 25 см. Такой масштаб удобен еще и тем, что создаются лучшие условия для проведения эксперимента: облегчается осущестнление и вознедение конструктивных элементов модели, а также установка регистрирующей аппаратуры и ее характерных точках. Поэтому в качестве модельного материала нами припят материал оригипала. Следовательно, для характерных неличин имеют место следующие условия подобия:

$$\alpha' = \alpha; \ \epsilon' = \epsilon; \ E' = E; \ m' = \alpha^2 m; \ W' = W.$$

Здесь і и з напряження; и є деформации; E' и E — модули деформации; m и m — массы; W' и W' — ускорения.

Обеспечение педостающего веса—пригрузки модели— в наших опытах осуществлялось с помощью грузов, равномерно-распределенных по междуэтажным перекрытиям. Причем, определенная часть пригрузки была испосредственно иключена в объем междуэтажного железобетонного перекрытия.

Железобетонные междуэтажные перекрытия оригинала — многопустотные панели — в модели были заменены силошными плитами, отвечающими прочности и жесткости оригинала и позволяющими включить в себя пригрузку, приходящуюся на междуэтажное перекрытие от полезной нагрузки и неса панелей. Пригрузка от собственного неса стен осуществлялась повтажным нагружением перекрытий распределенной массой в виде кирпичей. Сопоставление механических характеристик оригинала и модели принедено в табл. 1. Данные втой таблицы спидетельствуют о высокой точности изготовления модели — отклонения

<sup>\*</sup> Здесь и в дальнейшем буквенные обозначения со штрихом относятся к мадели.

Таблица 1

Механические хароктеристики оригинала и модели

	Единида маме- рения	Оригинал	Модель		
Веанчины			фактиче-	расчетиме	отклонение. 0/0
Масся (І и ІІ втажи)	m	282	111	110	0,9
Месса III этажа	nı	203	82,3	79,2	-3,7
П падада сечения поперечных стен	.w <sup>2</sup>	15,5	6	6	0
М ожент инердии поперечных степ	.H.E	183	28	28	0
П ериод собственных жолебаний и поперечном					
ваправления	CEK	0,172	0,137	0,136	0,7
Площаль сечения продольных стен	M2	12,6	4,9	4.9	0
Монент инерции продольных стен	.M <sup>-1</sup>	378	57,5	57,5	0
Паркод собственных колобаний в продольном	cen	0,176	0.140	0.139	±0,7

маханических характеристик модели от тех же неличин оригинала сос ставляют в среднем 10/0.

Для определения параметров колебаний грунта и моделей

грунте, фундаменте и в трех точках ни высоте модели были установлены намерительные приборы по лвум или трем направлениям ставляющих. Кроме того, для опрез сления принеденных сейсмических ускорений на грунте и фундаментах моделей устанавливались миогомаятниковые сейсмометры АИС-2М. План расстановки мо-

стойком и несейсмостойком, подвергались сейсмонарывным воздействиям в двух опытах:

І опыт при интенсивности VII баллов в продольном направлении;

II опыт основной — при интенсивности VIII баллов в ном направлении.

лелей и приборов показан на рис. 1. Модели жилых домов, пыполневные в двух вариантах - сейсмо- Рис. 1 План расположения моделей и

приборов: п) при 1 опыте; б) при 11 опыта, 1 - песейсмостойкий дом; 2 сейсмостойкий дом; 3-камера инмерительных приборов,

Значения параметров колебаний (смещение, скорость, ускорение) определялись как по записям, так и расчетным путем. Их сопоставление показывает, что величины параметров, полученные расчетным путем, можно использовать только для предварительной оце ики из-за их 3. TH. M 1

значительного расхождения с измеренными данными. Поэтому для получения болсе падежных выводов необходимо производить прямые замеры всех параметров колебании (смещение, скорость, ускорение, приведенное ускорение) и по ним строить спектры. Было также отмечено, что максимальные значения смещения, скорости и ускорения отпосятся пе к одной фазе, а к различным фазам общего колебательного процесса. Наличие такого факта затрудняет дать оцепку сейсмического поздействия по максимальным параметрам колебаний. Поэтому появилась необходимость спектрального представления колебаний.

На рис. 2 сплошными ливиями показаны интервалы смещений грунта для VII и VIII баллов, согласно [3, 4]. Из рисунка видно, что интепсивность колебаний грунта при втором взрыве соответствует VIII баллам.

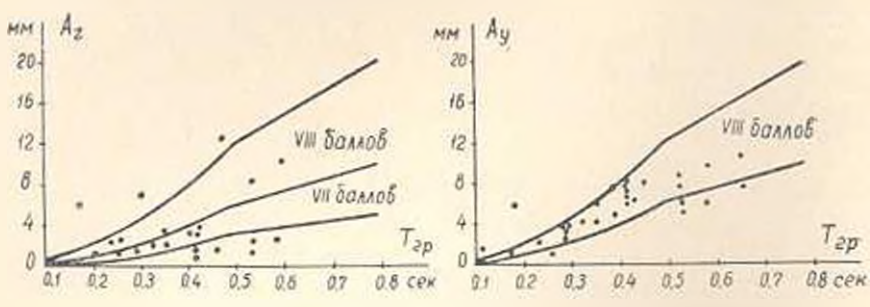


Рис. 2. Спектр смещений при II опыте.

На грунте были расставлены сейсмометры АИС-2М для опреде ления приведенных сейсмических ускорений системы с одной степенью свободы. На рис. З точками панесены измеренные приведенные сейс-

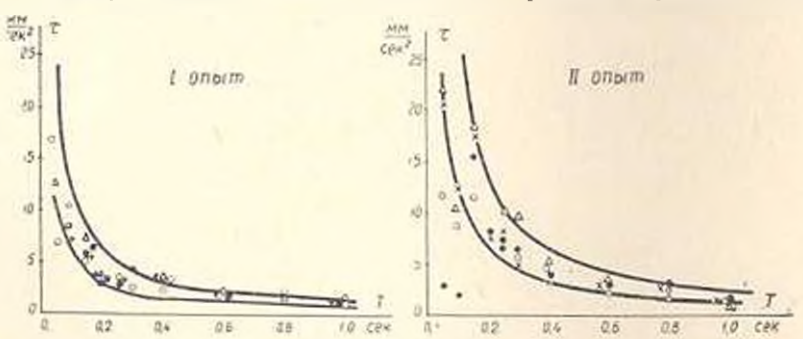


Рис. 3. Спектры приведенных сейсмических ускорений, определенных сейсмонетрами АИС-2М: — у сейсмостойкого дома; — у несейсмостойкого дома; — на расстоянии 50 м от домов; — на расстоянии 300 м от домов.

мические ускорения. Там же сплошными линиями нанесены интервалы принеденных сейсмических ускорений при интенсивности в VII и VIII баллов. Как видно, горизонтальные площадки принеденных сейсмических ускорений в интервале периодов 0 0,3 сек или в интервале периодов 0:0,5 сек [4] не подтверждаются опытом и с ростом перио-

дов колебаний, начиная с 0,05 сек, принеденные ссйсмические ускорення монотонно убывают. Это положение было отмечено и ранее в работах [5, 6]. Из рис. З видно, что интенсивность сейсмовзрывного воздействия при первом опыте соответствует VII баллам. а при втором VIII баллам. Это подтверждается также макросейсмическими данными, а именно: после перного опыта контуры всех сборных перемычек несейсмостойкого дома обозначались волосными трещинами. Отдельные случаи появления последних имели место и в кладке стен. Согласно описательной части шкал ИФЗ и МЅК - 1964, такие нарущения соответствуют легким повреждениям при интенсивности землетрясския и VII баллов. После второго опыта стены несейсмостойкого дома получили значительные повреждения — образовались трещины, что, согласно указанным шкалам, относятся к интенсивности в VIII баллов. В стенах сейсмостойкого дома, как после первого, так и после второго взрыва, видимых повреждений не было обчаружено.

Таким образом, можно констатировать, что как по макросейсмическим, так и по инструментальным данным, интенсивность колебаний при первом опыте соответствует VII баллам, а при втором— VIII баллам.

На основании анализа полученного экспериментального материвла можно сделать следующие выноды:

- 1. Рассмотренный нами случай расширенного подобия, который приблимается к простому, при решении поставленной задачи является нанболее выгодным, ввиду упрощения в технике экспериментирования, а также поэможности замены распределенной массы дискретными при соблюдении  $m=x^*m$ .
- 2. Сейсмостойкий дом со стенами из кирпича, рассчитанный по СНиП II-A, 12—62 на VIII баллон, при удонлетнорительном качестве строительных работ выдержал сейсмонэрывные колебания интенсивностью в VIII баллов без каких-либо повреждений.
- 3. Монолитные железобетонные антисейсмические нояса, сонмещенные с перемычками, а также горизонтальное сетчатое армирование кладки, являются надежными конструктивными мероприятиями, повышающими сейсмостойкость зданий в целом.
- 4. При рассмотрении спектров сейсмонарывных воли на выбранвых расстояниях обнаруживается некоторое подобие этих спектров со спектрами естественных землетрясений. Это дает возможность рекомендовать использование сейсмонарывных воли для исследования сейсмостойкости сооружений в условиях, близких к естественным землетрясениям, широко используя при этом моделирование.
- 5. Для получения наиболее обоснованных данных о колебаниях грунта и сооружения целесообразно получение одновременных записей смещений, скоростей, ускорений и приведенных ускорений в одной и той же точке.
  - б. Целесообразно интенсивность землетрясений оценивать не по

одному экстремальному значению параметра, а по всему характеру спектра в целом.

ИГИС АН АРМССР

Поступило 7.Х.1969.

#### վ. լ. ՄՆԱՑԱԿԱՆՅԱՆ

ԸՆԴԼԱՅՆՀԱԾ ՆՄԱՆՈՒԹՅԱՆ ՏԵՍՈՒԹՅԱՆ ԿԻՐԱՌՄԱՆ ՓՈՐՋ ՔԱՐԱՅԻՆ ԿՈՆՍՏՐՈՒԿՑԻԱՆԵՐԻ ՍԵՅՍՄԱԿԱՅՈՒՆՈՒԹՅԱՆ ՈՒՍՈՒՄՆԱՍԻՐՄԱՆ ՄԵՋ

## Ամփոփում

Հոդվածում բերվում են սելոմապայիլունային ալիբների աղդեցության ներբո երկու հռահարկ աղյուսե բնակելի շենջերի մոդելների սելոմակայունուիյան ուսումնասիրման արդյունբները։ Մոդելները պատրաստված են երկու աարրերակներով՝ հակաերերալարժային միջոցառումների պահպանումով և առանց վերջինների։ Մոդելացումը կատարված է Ա. Դ. Նապարովի դեֆոր-մացիայի ենքարկվող պինդ մարմինների ընդլայնված նմանության տեսության մի դեպքի հիման վրա, որը մոտենում է հասարակ նմանությանը։

#### ЛИТЕРАТУРА

- 1. Назаров А. Г. О механическом подобин твердых деформируемых тел. Изд. АН АрмССР, Ереван, 1965.
- 2. Назаров А. Г. Случай расширенного подобия тиердых деформируемых тел, приближающегося и простому подобию. "ДАН АрмССР", т. XI.V. № 3, 1967.
- Медведса С. В. Новая сейсмическая шказа. "Труды геофизического института АН СССР", № 21, 1953.
- Медоелев С. В. Междупародная шкала сейсмической интенсивности. Сейсмическое районирование СССР. М., 1968.
- Шигинян С. А. Результаты инструментального определения ковффициентов динамичности, "Сбориня статей по сейсмостойному строительству. К пересмотру ворм". Душанбе, 1960.
- Шазинян С. А. Приведенные сейсмические ускорения при землетрясениях. "Бюллетень Сонета по сейсмологии", № 14, 1963.